

EDUCAÇÃO MATEMÁTICA E SUAS TECNOLOGIAS 2

Felipe Antonio Machado Fagundes Gonçalves
(Organizador)

 **Atena**
Editora

Ano 2019

Felipe Antonio Machado Fagundes Gonçalves
(Organizador)

Educação Matemática e suas Tecnologias 2

Atena Editora
2019

2019 by Atena Editora
Copyright © Atena Editora
Copyright do Texto © 2019 Os Autores
Copyright da Edição © 2019 Atena Editora
Editora Executiva: Prof^a Dr^a Antonella Carvalho de Oliveira
Diagramação: Natália Sandrini
Edição de Arte: Lorena Prestes
Revisão: Os Autores

O conteúdo dos artigos e seus dados em sua forma, correção e confiabilidade são de responsabilidade exclusiva dos autores. Permitido o download da obra e o compartilhamento desde que sejam atribuídos créditos aos autores, mas sem a possibilidade de alterá-la de nenhuma forma ou utilizá-la para fins comerciais.

Conselho Editorial

Ciências Humanas e Sociais Aplicadas

Prof. Dr. Álvaro Augusto de Borba Barreto – Universidade Federal de Pelotas
Prof. Dr. Antonio Carlos Frasson – Universidade Tecnológica Federal do Paraná
Prof. Dr. Antonio Isidro-Filho – Universidade de Brasília
Prof. Dr. Constantino Ribeiro de Oliveira Junior – Universidade Estadual de Ponta Grossa
Prof^a Dr^a Cristina Gaio – Universidade de Lisboa
Prof. Dr. Deyvison de Lima Oliveira – Universidade Federal de Rondônia
Prof. Dr. Gilmei Fleck – Universidade Estadual do Oeste do Paraná
Prof^a Dr^a Ivone Goulart Lopes – Istituto Internazionale delle Figlie de Maria Ausiliatrice
Prof^a Dr^a Juliane Sant’Ana Bento – Universidade Federal do Rio Grande do Sul
Prof. Dr. Julio Candido de Meirelles Junior – Universidade Federal Fluminense
Prof^a Dr^a Lina Maria Gonçalves – Universidade Federal do Tocantins
Prof^a Dr^a Natiéli Piovesan – Instituto Federal do Rio Grande do Norte
Prof^a Dr^a Paola Andressa Scortegagna – Universidade Estadual de Ponta Grossa
Prof. Dr. Urandi João Rodrigues Junior – Universidade Federal do Oeste do Pará
Prof^a Dr^a Vanessa Bordin Viera – Universidade Federal de Campina Grande
Prof. Dr. Willian Douglas Guilherme – Universidade Federal do Tocantins

Ciências Agrárias e Multidisciplinar

Prof. Dr. Alan Mario Zuffo – Universidade Federal de Mato Grosso do Sul
Prof. Dr. Alexandre Igor Azevedo Pereira – Instituto Federal Goiano
Prof^a Dr^a Daiane Garabeli Trojan – Universidade Norte do Paraná
Prof. Dr. Darllan Collins da Cunha e Silva – Universidade Estadual Paulista
Prof. Dr. Fábio Steiner – Universidade Estadual de Mato Grosso do Sul
Prof^a Dr^a Girlene Santos de Souza – Universidade Federal do Recôncavo da Bahia
Prof. Dr. Jorge González Aguilera – Universidade Federal de Mato Grosso do Sul
Prof. Dr. Ronilson Freitas de Souza – Universidade do Estado do Pará
Prof. Dr. Valdemar Antonio Paffaro Junior – Universidade Federal de Alfenas

Ciências Biológicas e da Saúde

Prof. Dr. Gianfábio Pimentel Franco – Universidade Federal de Santa Maria
Prof. Dr. Benedito Rodrigues da Silva Neto – Universidade Federal de Goiás
Prof.^a Dr.^a Elane Schwinden Prudêncio – Universidade Federal de Santa Catarina
Prof. Dr. José Max Barbosa de Oliveira Junior – Universidade Federal do Oeste do Pará
Prof.^a Dr.^a Natiéli Piovesan – Instituto Federal do Rio Grande do Norte
Prof.^a Dr.^a Raissa Rachel Salustriano da Silva Matos – Universidade Federal do Maranhão
Prof.^a Dr.^a Vanessa Lima Gonçalves – Universidade Estadual de Ponta Grossa
Prof.^a Dr.^a Vanessa Bordin Viera – Universidade Federal de Campina Grande

Ciências Exatas e da Terra e Engenharias

Prof. Dr. Adélio Alcino Sampaio Castro Machado – Universidade do Porto
Prof. Dr. Eloi Rufato Junior – Universidade Tecnológica Federal do Paraná
Prof. Dr. Fabrício Menezes Ramos – Instituto Federal do Pará
Prof.^a Dr.^a Natiéli Piovesan – Instituto Federal do Rio Grande do Norte
Prof. Dr. Takeshy Tachizawa – Faculdade de Campo Limpo Paulista

Conselho Técnico Científico

Prof. Msc. Abrãao Carvalho Nogueira – Universidade Federal do Espírito Santo
Prof.^a Dr.^a Andreza Lopes – Instituto de Pesquisa e Desenvolvimento Acadêmico
Prof. Msc. Carlos Antônio dos Santos – Universidade Federal Rural do Rio de Janeiro
Prof.^a Msc. Jaqueline Oliveira Rezende – Universidade Federal de Uberlândia
Prof. Msc. Leonardo Tullio – Universidade Estadual de Ponta Grossa
Prof. Dr. Welleson Feitosa Gazel – Universidade Paulista
Prof. Msc. André Flávio Gonçalves Silva – Universidade Federal do Maranhão
Prof.^a Msc. Renata Luciane Polsaque Young Blood – UniSecal
Prof. Msc. Daniel da Silva Miranda – Universidade Federal do Pará

Dados Internacionais de Catalogação na Publicação (CIP) (eDOC BRASIL, Belo Horizonte/MG)	
E24	Educação matemática e suas tecnologias 2 [recurso eletrônico] / Organizador Felipe Antonio Machado Fagundes Gonçalves. – Ponta Grossa (PR): Atena Editora, 2019. – (Educação Matemática e suas Tecnologias; v. 2) Formato: PDF Requisitos de sistema: Adobe Acrobat Reader Modo de acesso: World Wide Web Inclui bibliografia ISBN 978-85-7247-348-4 DOI 10.22533/at.ed.484192405 1. Matemática – Estudo e ensino – Inovações tecnológicas. 2. Tecnologia educacional. I. Gonçalves, Felipe Antonio Machado Fagundes. II. Série. CDD 510.7
Elaborado por Maurício Amormino Júnior – CRB6/2422	

Atena Editora
Ponta Grossa – Paraná - Brasil
www.atenaeditora.com.br
contato@atenaeditora.com.br

APRESENTAÇÃO

A obra “Educação Matemática e suas tecnologias” é composta por quatro volumes, que vêm contribuir de maneira muito significativa para o Ensino da Matemática, nos mais variados níveis de Ensino. Sendo assim uma referência de grande relevância para a área da Educação Matemática. Permeados de tecnologia, os artigos que compõem estes volumes, apontam para o enriquecimento da Matemática como um todo, pois atinge de maneira muito eficaz, estudantes da área e professores que buscam conhecimento e aperfeiçoamento. Pois, no decorrer dos capítulos podemos observar a matemática aplicada a diversas situações, servindo com exemplo de práticas muito bem sucedidas para docentes da área. A relevância da disciplina de Matemática no Ensino Básico e Superior é inquestionável, pois oferece a todo cidadão a capacidade de analisar, interpretar e inferir na sua comunidade, utilizando-se da Matemática como ferramenta para a resolução de problemas do seu cotidiano. Sem dúvidas, professores e pesquisadores da Educação Matemática, encontrarão aqui uma gama de trabalhos concebidos no espaço escolar, vislumbrando possibilidades de ensino e aprendizagem para diversos conteúdos matemáticos. Que estes quatro volumes possam despertar no leitor a busca pelo conhecimento Matemático. E aos professores e pesquisadores da Educação Matemática, desejo que esta obra possa fomentar a busca por ações práticas para o Ensino e Aprendizagem de Matemática.

Felipe Antonio Machado Fagundes Gonçalves

SUMÁRIO

CAPÍTULO 1	1
O ALGORITMO ESPECTRAL COMO ALTERNATIVA AO ALGORITMO K-MEANS EM CONJUNTO DE DADOS ARTIFICIAIS	
Luciano Garim Garcia Leonardo Ramos Emmendorfer	
DOI 10.22533/at.ed.4841924051	
CAPÍTULO 2	16
NOVAS RELAÇÕES NA MATRIZ DE TRANSFORMAÇÃO DA TRANSFORMADA NUMÉRICA DE PASCAL	
Arquimedes José De Araújo Paschoal Ricardo Menezes Campello De Souza Hélio Magalhães De Oliveira	
DOI 10.22533/at.ed.4841924052	
CAPÍTULO 3	24
ALGORITMOS RÁPIDOS PARA O CÁLCULO DA TRANSFORMADA NUMÉRICA DE PASCAL	
Arquimedes José De Araújo Paschoal Ricardo Menezes Campello De Souza	
DOI 10.22533/at.ed.4841924053	
CAPÍTULO 4	32
ANÁLISE DE CÁLCULO DIFERENCIAL USANDO O SOFTWARE GEOGEBRA	
Amanda Barretos Lima Garuth Brenda Anselmo Mendes Isabela Geraldo Reghin Rosângela Teixeira Guedes	
DOI 10.22533/at.ed.4841924054	
CAPÍTULO 5	46
DEFLEXÃO EM VIGAS DE CONCRETO ARMADO SOLUÇÃO ANALÍTICA E NUMÉRICA VIA MÉTODO DAS DIFERENÇAS FINITAS	
Mariana Coelho Portilho Bernardi Adilandri Mércio Lobeiro Jeferson Rafael Bueno Thiago José Sepulveda da Silva	
DOI 10.22533/at.ed.4841924055	
CAPÍTULO 6	57
MODELO MATEMÁTICO PARA AUXILIAR O PLANEJAMENTO DA MANUTENÇÃO PREVENTIVA DE MOTORES ELÉTRICOS	
Thalita Monteiro Obal Jonatas Santana Obal	
DOI 10.22533/at.ed.4841924056	

CAPÍTULO 7	64
PRINCÍPIO DA SUPERPOSIÇÃO E SOLUÇÃO NUMÉRICA DO PROBLEMA DE FLUXO EM AQUÍFERO CONFINADO	
João Paulo Martins dos Santos Alessandro Firmiano de Jesus Edson Wendland	
DOI 10.22533/at.ed.4841924057	
CAPÍTULO 8	83
RESONANT ORBITAL DYNAMICS OF CBERS SATELLITES	
Jarbas Cordeiro Sampaio Rodolpho Vilhena de Moraes Sandro da Silva Fernandes	
DOI 10.22533/at.ed.4841924058	
CAPÍTULO 9	91
TESTES ADAPTATIVOS ENVOLVENDO O CONTEÚDO DE DERIVADAS: UM ESTUDO DE CASO COM ALUNOS DE ENGENHARIA CIVIL	
Patrícia Liane Grudzinski da Silva Claudia Lisete Oliveira Groenwald	
DOI 10.22533/at.ed.4841924059	
CAPÍTULO 10	104
LOCALIZAÇÃO DE FALTAS EM LINHAS DE TRANSMISSÃO POR ANÁLISE DE SINAIS TRANSITÓRIOS DE TENSÃO	
Danilo Pinto Moreira de Souza Eliane da Silva Christo Aryfrance Rocha Almeida	
DOI 10.22533/at.ed.48419240510	
CAPÍTULO 11	116
MODELAGEM DA PROPAGAÇÃO DE FUMAGINA CAUSADA POR MOSCA-BRANCA EM CULTURAS AGRÍCOLA	
Gustavo Henrique Petrolí Norberto Anibal Maidana	
DOI 10.22533/at.ed.48419240511	
CAPÍTULO 12	133
LOS SUBNIVELES DE DESARROLLO DEL ESQUEMA DE DERIVADA: UN ESTUDIO EXPLORATORIO EN EL NIVEL UNIVERSITARIO	
Claudio Fuentealba Edelmira Badillo Gloria Sánchez-Matamoros Andrea Cárcamo	
DOI 10.22533/at.ed.48419240512	
CAPÍTULO 13	143
OTIMIZAÇÃO BASEADA EM CONFIABILIDADE PARA A MINIMIZAÇÃO DE FUNÇÕES MATEMÁTICAS	
Márcio Aurélio da Silva Fran Sérgio Lobato Aldemir Ap Cavalini Jr Valder Steffen Jr	
DOI 10.22533/at.ed.48419240513	

CAPÍTULO 14	156
SEQUÊNCIAS: INTERVALARES E FUZZY	
Gino Gustavo Maqui Huamán	
Ulcilea Alves Severino Leal	
Geraldo Nunes Silva	
DOI 10.22533/at.ed.48419240514	
CAPÍTULO 15	164
VALIDAÇÃO DO MÉTODO DOS ELEMENTOS DISCRETOS PARA O ESCOAMENTO DE GRÃOS DE SOJA	
Rodolfo França de Lima	
Vanessa Faoro	
Manuel Osório Binelo	
Dirceu Lima dos Santos	
Adriano Pilla Zeilmann	
DOI 10.22533/at.ed.48419240515	
CAPÍTULO 16	181
TAREAS DE GENERALIZACIÓN POR INDUCCIÓN PARA FORMAR EL CONCEPTO DE POTENCIA	
Landy Sosa Moguel	
Guadalupe Cabañas-Sánchez	
Eddie Aparicio Landa	
DOI 10.22533/at.ed.48419240516	
CAPÍTULO 17	192
SINCRONISMO EM UM NOVO MODELO METAPOPOPULACIONAL COM TAXA DE MIGRAÇÃO INDEPENDENTE DA DENSIDADE	
Francisco Helmuth Soares Dias	
Jacques Aveline Loureiro da Silva	
DOI 10.22533/at.ed.48419240517	
CAPÍTULO 18	199
SIMULAÇÃO 3D DO FLUXO DE AR DE UM SISTEMA REAL DE ARMAZENAGEM DE GRÃOS	
Vanessa Faoro	
Rodolfo França de Lima	
Aline Tampke Dombrowski	
Manuel Osório Binelo	
DOI 10.22533/at.ed.48419240518	
CAPÍTULO 19	207
CONTROLE ÓTIMO DO FLUXO DE ÁGUA EM UMA FÔRMA DE GELO	
Xie Jiayu	
João Luis Gonçalves	
DOI 10.22533/at.ed.48419240519	
CAPÍTULO 20	213
CÓDIGOS CÍCLICOS DEFINIDOS POR ANULAMENTO	
Conrado Jensen Teixeira	
Osnel Broche Cristo	
DOI 10.22533/at.ed.48419240520	

CAPÍTULO 21	216
ANÁLISE TEÓRICO-EXPERIMENTAL DE DISPERSÃO DE UM CONTAMINANTE COM TRANSFORMAÇÕES INTEGRAIS E INFERÊNCIA BAYESIANA	
Bruno Carlos Lugão Diego Campos Knupp Pedro Paulo Gomes Watts Rodrigues Antônio José da Silva Neto	
DOI 10.22533/at.ed.48419240521	
CAPÍTULO 22	225
ANÁLISE WAVELET DE TACOGRAMAS TEÓRICOS E EXPERIMENTAIS	
Ronaldo Mendes Evaristo Kelly Cristiane Iarosz Silvio Luiz Thomaz de Souza Ricardo Luiz Viana Moacir Fernandes de Godoy Antonio Marcos Batista	
DOI 10.22533/at.ed.48419240522	
CAPÍTULO 23	235
CONSTRUÇÃO DE UM AEROMODELO DE MACARRÃO NO ENSINO DE MATEMÁTICA E FÍSICA	
Alissan Sarturato Firão Ernandes Rocha de Oliveira Zulind Luzmarina Freitas	
DOI 10.22533/at.ed.48419240523	
SOBRE O ORGANIZADOR	239

ANÁLISE TEÓRICO-EXPERIMENTAL DE DISPERSÃO DE UM CONTAMINANTE COM TRANSFORMAÇÕES INTEGRAIS E INFERÊNCIA BAYESIANA

Bruno Carlos Lugão

Universidade do Estado do Rio de Janeiro,
Instituto Politécnico
Nova Friburgo, RJ, Brasil

Diego Campos Knupp

Universidade do Estado do Rio de Janeiro,
Instituto Politécnico
Nova Friburgo, RJ, Brasil

Pedro Paulo Gomes Watts Rodrigues

Universidade do Estado do Rio de Janeiro,
Instituto Politécnico
Nova Friburgo, RJ, Brasil

Antônio José da Silva Neto

Universidade do Estado do Rio de Janeiro,
Instituto Politécnico
Nova Friburgo, RJ, Brasil

RESUMO: A proposta deste trabalho consiste em estimar a velocidade média e o coeficiente de dispersão longitudinal da equação da advecção-dispersão unidimensional em regime transiente através de um problema inverso. Para tal, foram utilizados dados de um experimento de campo realizado por Sousa (2009), onde foi simulado o lançamento instantâneo de um contaminante conservativo (NaCl) em um trecho do rio São Pedro, localizado na cidade de Nova Friburgo/RJ. O problema direto é resolvido com o método híbrido analítico-numérico conhecido como Técnica da Transformada Integral Generalizada

(GITT). O problema inverso é formulado através da Inferência Bayesiana e resolvido com o Método de Monte Carlo via Cadeias de Markov (MCMC). Os resultados obtidos demonstram a robustez da combinação de transformações integrais e inferência Bayesiana nesta análise.

PALAVRAS-CHAVE: Técnica da Transformada Integral Generalizada, Problemas Inversos, Inferência Bayesiana, Monte Carlo via Cadeias de Markov.

ABSTRACT: The purpose of this study is to estimate the average speed and the longitudinal dispersion coefficient of the advection-dispersion equation transient one-dimensional through an inverse problem. For this, we used data from a field experiment conducted by Sousa (2009), which was simulated instantaneous release of a conservative contaminant (NaCl) on a stretch of the river San Pedro, located in the city of Nova Friburgo / RJ. The direct problem is solved with the analytical-numerical hybrid method known as Generalized Integral Transform Technique (GITT). The inverse problem is formulated by Bayesian Inference and solved with the Markov Chains Monte Carlo method (MCMC). The results demonstrate the robustness of the combination of integral transformation and Bayesian inference in this analysis.

KEYWORDS: Generalized Integral Transform Technique, Inverse Problems, Bayesian

1 | INTRODUÇÃO

A previsão do comportamento da dispersão de poluentes em rios, conduzida através de modelos matemáticos, é importante para a análise e redução de impactos ambientais, uma vez que pode levar a estimativas do alcance e das concentrações a serem observadas na pluma de contaminantes.

Neste trabalho é realizada a análise da dispersão de um contaminante conservativo lançado de maneira instantânea em um rio, através da comparação entre os resultados obtidos em um experimento de campo e aqueles calculados por um modelo matemático. O transporte deste contaminante foi simulado através da equação da advecção-dispersão unidimensional em regime transiente com velocidade e coeficiente de dispersão longitudinal constantes. A solução desta EDP é obtida por meio do método híbrido analítico-numérico conhecido como Técnica da Transformada Integral Generalizada (GIT) (Cotta, 1993). Esta escolha é importante, pois por tratar-se de uma metodologia parcialmente analítica a solução do problema direto é realizada com custo computacional menor e com grande precisão. Este é um passo fundamental na solução do problema inverso aqui tratado, pois este envolve um processo iterativo intenso computacionalmente. O problema inverso para estimativa dos parâmetros do modelo (velocidade média e coeficiente de dispersão longitudinal) é então formulado por meio de Inferência Bayesiana (Kaipio, 2004), permitindo assim a incorporação no modelo inverso de informações a priori disponíveis para estes parâmetros.

2 | DESCRIÇÃO DO EXPERIMENTO

O experimento foi realizado por Sousa (2009) no verão de 2009, em um pequeno curso fluvial, Rio São Pedro, localizado na região rural do município de Nova Friburgo, centro-norte do estado do Rio de Janeiro. Foram lançadas 2000 gramas de cloreto de sódio, diluídos em aproximadamente 15 litros de água em um balde, de maneira instantânea em um ponto da seção de injeção, sobre a linha de corrente central do escoamento.

Em duas seções, localizadas, respectivamente, a 50 e 100 metros a jusante do local de injeção, foram colhidas, a cada 15 segundos, amostras de 200 ml da água, durante período de tempo suficiente para que ocorresse, por completo, a passagem da pluma do traçador. Apenas as amostras obtidas na seção a 100 metros do ponto de lançamento foram utilizadas. Em todas as amostras foi determinada a condutividade elétrica, posteriormente convertida em concentração de sais dissolvidos, através da curva de calibração que modelada para este fim. De acordo com esse procedimento, a concentração de sais a montante do ponto de lançamento seria de 15.5 mg/l .

3 | FORMULAÇÃO E SOLUÇÃO DO PROBLEMA DIRETO

Considere uma seção de um rio com comprimento L , inicialmente com velocidade média e coeficiente de dispersão longitudinal constantes. Em x_1 é simulado o lançamento instantâneo de um poluente. A representação esquemática deste problema é apresentada na figura 1.

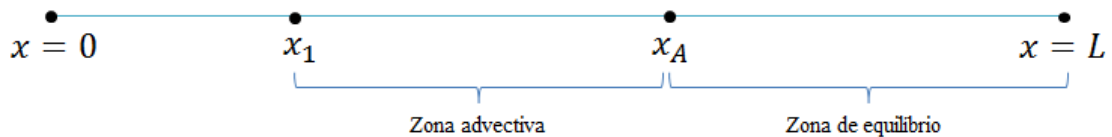


Figura 1: Representação Esquemática

A zona de equilíbrio deste problema, marcada esquematicamente a partir do ponto x_A na figura 1, pode ser modelada pela equação da advecção-dispersão unidimensional em regime transiente (Fischer, 1979):

$$\frac{\partial C(x,t)}{\partial t} + u \frac{\partial C(x,t)}{\partial x} = E_L \frac{\partial^2 C(x,t)}{\partial x^2}, \quad 0 < x < L \text{ e } t > 0 \quad (1)$$

$$C(0,t) = c_0, \quad t > 0 \quad (1.1)$$

$$\frac{\partial C}{\partial x}(L,t) = 0, \quad t > 0 \quad (1.2)$$

$$C(x,0) = \frac{M}{A} \delta(x - x_1) + c_0, \quad 0 < x < L \quad (1.3)$$

onde u é a velocidade média na seção transversal, E_L é o coeficiente de dispersão longitudinal, A é a área da seção transversal, M é a massa do poluente, $\delta(x - x_1)$ é a função Delta de Dirac e c_0 é o valor da concentração medido no rio antes do lançamento do poluente.

Para o experimento descrito na Seção 2, os seguintes parâmetros são conhecidos: $c_0 = 15.5$ mg/l, $M = 2000$ g, $A = 0.9$ m², $L = 1000$ m e $x_1 = 500$ m. Os parâmetros u e E_L serão estimados por meio do problema inverso.

4 | TÉCNICA DA TRANSFORMADA INTEGRAL GENERALIZADA

A solução formal através da Técnica da Transformada Integral Generalizada segue o seguinte procedimento sistemático: (i) definição do problema de autovalor, (ii) desenvolvimento do par de transformação integral, (iii) realização da transformação integral na EDP original, (iv) solução do sistema de EDO's resultante da transformação integral e (v) utilização da fórmula de inversão para construir o potencial original (Cotta, 1993).

De modo a acelerar a convergência da solução através da GITT, é desejável que

as condições de contorno sejam homogêneas. Portanto, considera-se o seguinte filtro:

$$C(x, t) = C^*(x, t) + C_f(x) \quad (2)$$

onde $c^*(x, t)$ é o potencial filtrado e $c_f(x)$ é a solução do problema filtro. Para o problema aqui tratado, $c_f(x) = c_0$ é considerado, sendo o suficiente para homogeneizar as condições de contorno.

O problema de autovalor diferencial é definido como o problema de Helmholtz, cujas autofunções, $\psi_i(x)$, e seus respectivos autovalores, μ_i , para as condições de contorno dadas são:

$$\psi_i(x) = \cos\left(\frac{\mu_i x}{\sqrt{E_L}}\right), \quad i = 1, 2, \dots \quad (3)$$

$$\mu_i = \frac{\sqrt{E_L}(2i - 1)\pi}{2L}, \quad i = 1, 2, \dots \quad (4)$$

Define-se então o par de transformação integral como:

$$\text{Transformada: } \bar{C}_i(t) = \int_0^L \tilde{\psi}_i(x) C^*(x, t) dx \quad (5.1)$$

$$\text{Inversa: } C^*(x, t) = \sum_{i=1}^{\infty} \bar{C}_i(t) \tilde{\psi}_i(x) \quad (5.2)$$

onde

$$\tilde{\psi}_i(x) = \frac{\psi_i(x)}{\sqrt{N_i}}, \quad N_i = \int_0^L \psi_i^2(x) dx \quad (6)$$

Operando o problema filtrado com $\int_0^L \tilde{\psi}_i(x) (\cdot) dx$ e realizando manipulações algébricas para cada uma das integrais resultantes, obtém-se o seguinte sistema de EDO's para os potenciais $\bar{C}_i(t)$:

$$\frac{d\bar{C}_i(t)}{dt} + \mu_i^2 \bar{C}_i(t) = \bar{g}_i(t), \quad i = 1, 2, 3, \dots \quad (7.1)$$

onde

$$\bar{g}_i(t) = -u \sum_{j=1}^{\infty} \bar{C}_j(t) D_{ij} \quad (7.2)$$

$$D_{ij} = \int_0^L \tilde{\psi}_i(x) \frac{d\tilde{\psi}_j(x)}{dx} dx \quad (7.3)$$

Com as condições iniciais transformadas dadas por:

$$\bar{C}_i(0) = \int_0^L \tilde{\psi}_i(x) f^*(x) dx, \quad f^*(x) = f(x) - c_f(x) \quad (7.4)$$

Para a solução do sistema de EDO's dado em (7), foi utilizada a rotina NDSolve do software Mathematica. Uma vez conhecidos os potenciais transformados $\bar{C}_i(t)$, a fórmula de inversão, Eq. (5.2), pode ser utilizada para a obtenção do campo filtrado, $C^*(x,t)$. Para a obtenção do campo original, $C(x,t)$, a Eq. (2) é empregada, resultando:

$$C(x,t) = C^*(x,t) + C_f(x) = \sum_{i=1}^{N_{tr}} \bar{C}_i(t) \tilde{\psi}_i(x) + C_f(x) \quad (8)$$

5 | FORMULAÇÃO E SOLUÇÃO DO PROBLEMA INVERSO

Considere que no problema modelado pela eq. (1) estejam disponíveis dados experimentais $\mathbf{Z} = \{Z_1, Z_2, \dots, Z_{N_d}\}$, medidos em uma determinada posição e em tempos distintos, onde N_d representa o número de dados disponíveis. Considere agora que os valores do conjunto de parâmetros $\alpha = \{u, E_l\}$ sejam desconhecidos, mas seja necessário estimá-los. Este é o problema de interesse deste trabalho.

Na abordagem Bayesiana o problema inverso é formulado como um problema de inferência estatística, onde se busca uma função de densidade de probabilidade *a posteriori* dadas as observações experimentais. Dessa maneira, as informações *a priori* sobre os parâmetros do modelo podem ser utilizadas na formulação do problema inverso.

O teorema de Bayes para a análise inversa pode ser formulado da seguinte maneira (Kaipio, 2004):

$$\pi_{pos}(\alpha) = \pi(\alpha|\mathbf{Z}) = \frac{\pi_{pr}(\alpha)\pi(\mathbf{Z}|\alpha)}{\pi(\mathbf{Z})} \quad (9)$$

onde $\pi_{pos}(\alpha)$ é a função de densidade de probabilidades *a posteriori*, $\pi_{pr}(\alpha)$ é

a função de densidade de probabilidades *a priori*, $\Pi(\mathbf{Z}|\alpha)$ é a função de máxima verossimilhança e $\Pi(\mathbf{Z})$ é a densidade marginal que exerce o papel de constante de normalização.

Se os erros experimentais forem aditivos e descritos por uma distribuição normal, a função de máxima verossimilhança pode ser definida como:

$$\pi(\mathbf{Z}|\alpha) = \frac{1}{\sqrt{(2\pi)^{N_d} \det(\mathbf{W})}} \exp\left[-\frac{1}{2}(\mathbf{Z} - \mathbf{Z}_{calc})^T \mathbf{W}^{-1}(\mathbf{Z} - \mathbf{Z}_{calc})\right] \quad (10)$$

onde \mathbf{W} é a matriz de covariância relacionado aos dados experimentais. Para o experimento realizado por Sousa (2009) foi considerado um desvio padrão constante igual a $\sigma_{exp} = 1.55 \text{ mg/l}$. Para simular amostras de $\pi_{pos}(\alpha)$ através do MCMC é empregado o algoritmo de Metropolis-Hastings (Metropolis, 1953; Hastings, 1970).

6 | RESULTADOS E DISCUSSÃO

A metodologia apresentada foi formulada computacionalmente no software de computação algébrica Mathematica utilizando uma ordem de truncamento $N_{tr} = 100$. Na tabela 1 pode-se acompanhar a convergência da GITT para diversas ordens de truncamento. Para $t = 90\text{s}$ utilizando $N_{tr}=100$ tem-se 5 algarismos convergidos, enquanto que, em $t=150\text{s}$ com $N_{tr}= 60$, é possível constatar uma convergência melhor. Este resultado já era esperado, pois o método necessita de uma quantidade maior de termos para representar de maneira mais fiel os valores nas proximidades do contorno.

Ntr	t= 90s			t = 150s		
	50m	100m	150m	50m	100m	150m
20	51.1036	23.2132	13.4647	29.4998	45.6128	17.3230
40	61.7399	16.7798	15.0933	24.8485	49.2443	16.9888
60	62.6123	17.5713	15.4851	24.9217	49.2696	16.9684
80	62.6311	17.5495	15.4999	24.9217	49.2696	16.9686
100	62.6312	17.5497	15.5001	24.9217	49.2696	16.9686

Tabela 1: Tabela de Convergência

Para a solução do problema inverso foram consideradas informações a priori disponíveis para os parâmetros μ e E_L obtidos por Sousa (2009), modeladas como distribuições normais com $\mu_u = 0.59\text{m/s}$, $\sigma_u = 0.3\text{m/s}$, $\mu_{EL} = 1.75\text{m}^2/\text{s}$ e $\sigma_{EL} = 0.8\text{m}^2/\text{s}$. Para a construção das Cadeias de Markov, no algoritmo de Metropolis-Hastings foram utilizados estados iniciais diferentes das médias a priori, com o objetivo de testar a implementação, verificando a convergência das cadeias.

A Cadeia de Markov foi construída com 20.000 estados e um aquecimento de

6.000 estados, que são descartados na computação das estatísticas da distribuição *a posteriori*. As figuras 2 (a) e (b) mostram a evolução das cadeias para os parâmetros E_L e u , respectivamente, onde é observado que os 6.000 estados utilizados como amostras de aquecimento são mais do que o suficiente para as cadeias alcançarem a distribuição de equilíbrio.

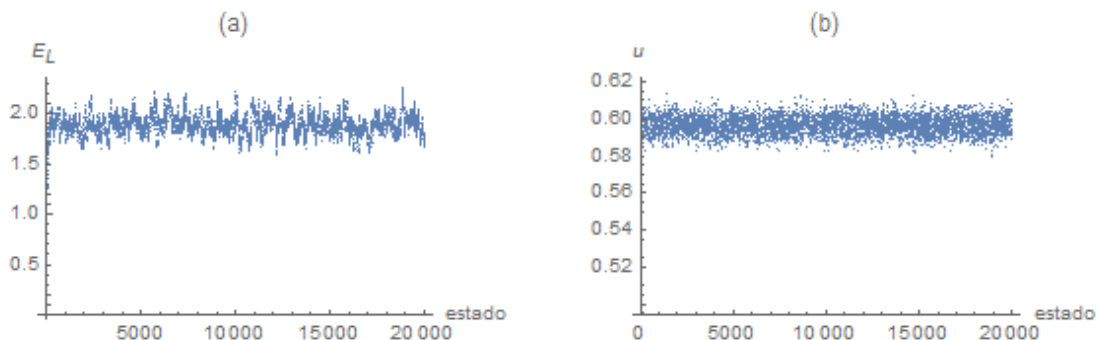


Figura 2: Evolução das Cadeias para E_L e u , respectivamente em (a) e (b)

Nas figuras 3 (a) e (b) são apresentados os histogramas das distribuições *a posteriori* para E_L e u , respectivamente, onde é possível observar que as densidades tendem para uma distribuição normal.

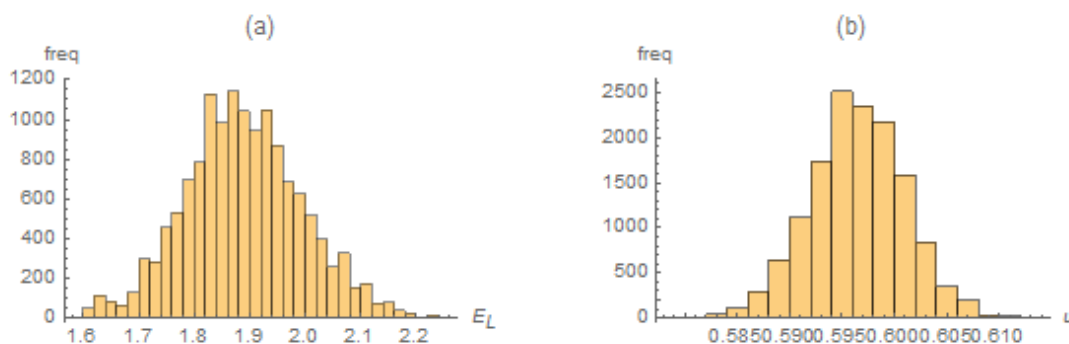


Figura 3: Histogramas para as distribuições *a posteriori* de E_L e u , respectivamente em (a) e (b)

A tabela 2 apresenta os intervalos de confiança estimados de 95% para cada uma das distribuições *a posteriori* amostradas pelo MCMC, bem como a média e o desvio padrão de cada um dos parâmetros. É importante notar que os valores estimados por Sousa (2009), $E_L = 1.75$ e $u = 0.59$, encontram-se dentro do intervalo de confiança determinado neste trabalho.

	E_L (m ² /s)	u (m/s)
IC	[1.69 ; 2.11]	[0.59 ; 0.61]
μ	1.89	0.60
σ	0.105	0.0045

Tabela 2 Intervalos de confiança de 95%, média e desvio padrão para E_L e u

Por fim, é possível observar na figura 4 uma comparação entre as concentrações calculadas e os dados experimentais. A linha azul representa a solução via GITT utilizando os valores médios dos parâmetros dados na tabela 2, resultando em um erro absoluto total de 74mg/l, enquanto que a linha tracejada refere-se aos resultados encontrados por Sousa (2009), resultando em um erro absoluto total de 78mg/l .

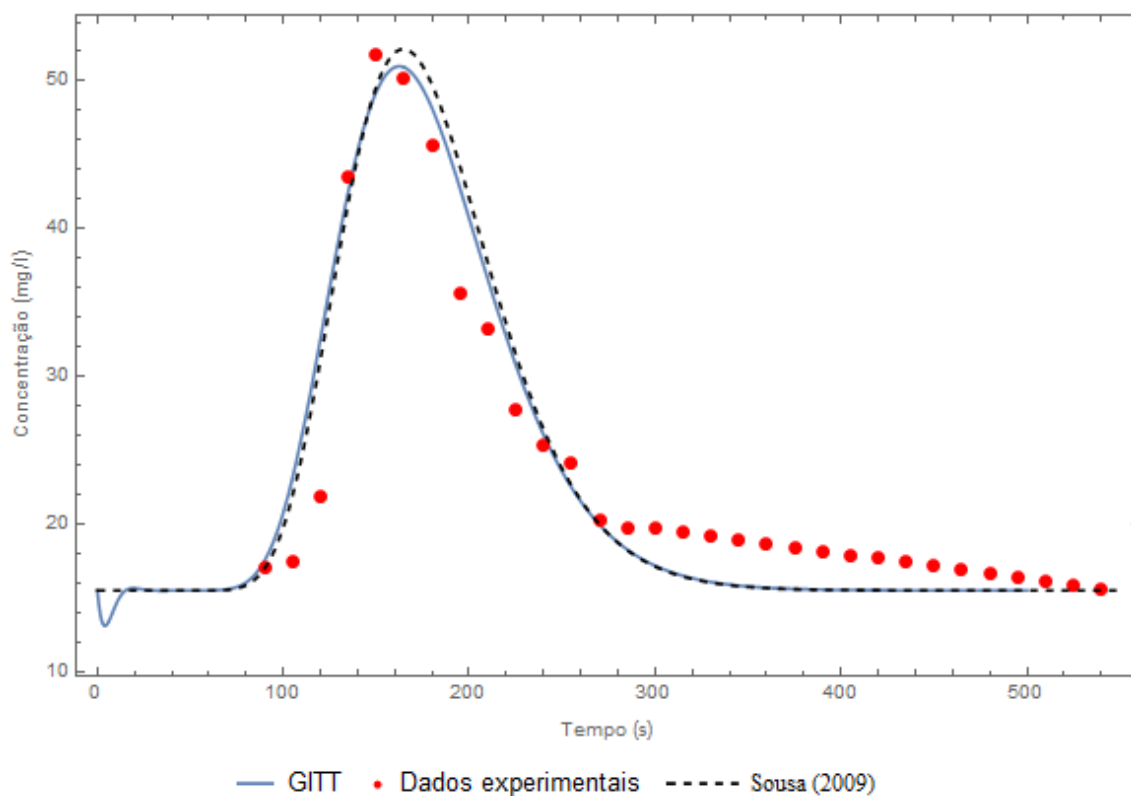


Figura 4: Comparação dos resultados obtidos em relação aos dados experimentais

7 | CONCLUSÕES

A metodologia empregada neste trabalho, combinando transformações integrais e inferência Bayesiana, foi demonstrada eficaz para a estimativa do coeficiente de dispersão longitudinal e a velocidade média empregando-se informação a priori. Os resultados obtidos apresentaram uma pequena melhora em relação aos encontrados por Sousa (2009). Além disso, ressalta-se o fato da solução do problema inverso na abordagem Bayesiana ser densidades de probabilidade para os parâmetros buscados, trazendo maior nível de informação quanto às incertezas dos parâmetros estimados.

AGRADECIMENTOS

Os autores agradecem pelo apoio financeiro das agências CNPq, CAPES e FAPERJ.

REFERÊNCIAS

Cotta, R. M. **Integral transforms in computational heat and fluid flows**. Florida , CRC Press, 1993.

Fischer, H. B., List, J. E., Koh, C. R., Imberger, J. e Brooks, N. H. **Mixing in inland and coastal waters**. London, Academic Press, 1979.

Hastings, W. Monte Carlo sampling methods using Markov chains and their applications. **Biometrika**, v.57,n.1:97-109, 1970.

Metropolis, N., Rosenbluth, A., Rosenbluth, M., Teller A. Equation of state calculations by fast computing machine. **The journal of chemical physics**, v.21:1087-1091, 1953.

Sousa, E. P. **Avaliação de mecanismos dispersivos em rios através de problemas inversos**, Nova Friburgo, UERJ, 2009.

Kaipio, J., Sommersalo, E. **Statistical and Computational Inverse Problems**, Springer-Verlag, 2004.

SOBRE O ORGANIZADOR

FELIPE ANTONIO MACHADO FAGUNDES GONÇALVES Mestre em Ensino de Ciência e Tecnologia pela Universidade Tecnológica Federal do Paraná(UTFPR) em 2018. Licenciado em Matemática pela Universidade Estadual de Ponta Grossa (UEPG), em 2015 e especialista em Metodologia para o Ensino de Matemática pela Faculdade Educacional da Lapa (FAEL) em 2018. Atua como professor no Ensino Básico e Superior. Trabalha com temáticas relacionadas ao Ensino desenvolvendo pesquisas nas áreas da Matemática, Estatística e Interdisciplinaridade.

Agência Brasileira do ISBN
ISBN 978-85-7247-348-4

